

## ВПЛИВ ПАРАМЕТРІВ ПІДВІСКИ НА ПЛАВНІСТЬ ХОДУ І ДИНАМІЧНУ НАВАНТАЖЕНІСТЬ ЛІСОВОЗНОГО РОЗПУСКА

*На основаних аналіза вертикальних коливаний лісовозного розпуску розроблені рекомендації по улучшенію его конструкції и ефективності использования.*

*Based on the analysis of vertical vibrations of logging pole trailer it is substantiated recommendations for improving its design and efficiency of usage.*

### Вступ

У гірських умовах на вивезенні сортментів у комплекті з лісовозними автомобілями використовуються одновісні ресорні і двовісні безресорні розпуски, які в порожньому стані найчастіше не перевозяться на шасі автомобіля. Відсутність ресор різко знижує плавність ходу розпусків і надійність їх деталей і вузлів у русі з вантажем, підвищує руйнування опорної поверхні, а для руху порожніх розпусків своїм ходом їх підвіска взагалі є не пристосованою [1–3].

### Виконані дослідження

У роботах [1, 3, 6] досліджено вплив параметрів коливання загального компонування автопотяга у складі автомобіля і одновісного розпуску, пружних характеристик пакета стовбурів і типу підвіски на плавність ходу одновісного розпуску. На підставі аналізу впливу зв'язків між підресорними масами тягача і розпуску, навантажених сортментами, встановлено, що нехтування ними призводить до похібки у вирахуванні середньоквадратичних прискорень розпуску в 4–9 % [6], що підтверджує можливість вивчення коливаний розпуску незалежно від коливаний автомобіля.

### Мета досліджень

Викладені методика і результати розрахунків є продовженням попередньо проведених досліджень і спрямовані на виявлення впливу наявності вантажу, ресорної підвіски і балансируного зв'язку осей на плавність ходу, стійкість руху і динамічну навантаженість елементів розпусків сортментовозів з метою розроблення рекомендацій для покращення їх конструкції і ефективності використання на вивезенні деревини в гірських умовах.

### Методика досліджень

Як вимірники плавності ходу і динамічної навантаженості елементів ходової частини використовуємо середньоквадратичні значення вертикальних прискорень рами

розпуску  $\ddot{z}$ , динамічних навантажень на ресору  $Q$ , вертикальних реакцій між колесами і дорогою  $R$ , а також коефіцієнту динамічності [4].

Параметри плавності ходу і динамічного навантаження елементів ходової частини розраховуємо з використанням методів теорії стаціонарних випадкових процесів [5].

Вирази амплітудно-частотних характеристик, потрібних для визначення спектральної щільності та середньоквадратичних значень параметрів, отримуємо внаслідок розв'язання диференційних рівнянь, які описують вертикальні лінійні, поперечно-кутові і поздовжньо-кутові незалежні коливання лісовозного розпуску як тримасової системи з двома входами (рис. 1).

Колівальна схема лісовозного розпуску як складова лісовозного автопотяга складається з підресореної маси завантаженого розпуску  $m$ , що опирається на підвіску, і моделюється пружиною та амортизатором, які характеризують радіальну жорсткість  $c_p$  підвіски і затухання  $k_p$  в ній, непідресорених мас  $m_a$  і  $m_e$  ( $m_a + m_e = m_w$ ). Непідресорені маси зв'язані з дорогою через шини, що відтворюються пружиною і амортизатором, які характеризують жорсткість шин  $2c_w$  і затухання  $2k_w$  в них. Розпуск з'єднано з тягачем пружиною і амортизатором, які відтворюють жорсткість  $c_w$  і опір  $k_w$  пружного елемента зчпного пристрою рами і дишла розпуску  $EJ$ , а також лив хрещатого зчеплення. До коліс розпуску у вигляді пружного і амортизувального елемента зведена тангенціальна жорсткість  $c_{wp}$  і опір  $k_{wp}$  шин.

Колівання підресореної маси розпуску характеризується лінійним переміщенням центрів підресорених  $z$  і непідресорених  $\xi$  мас розпуску вздовж вертикальної осі, кутовими переміщеннями  $\alpha$  навколо поперечної і  $\beta$  навколо поздовжньої осей, лінійними переміщеннями  $x$  уздовж поздовжньої осі.

Поздовжньо-кутові коливання розпуску здійснюються навколо точки зв'язку розпуску з пакетом деревини, яку внаслідок наявності щілини у з'єднаннях стояка коника з його основою можна вважати лінійною.

Розрахункові схеми (рис. 1) описуються рівняннями:  
вертикальні коливання (а)

$$\begin{aligned}
 m\ddot{z} + 2k_p(\dot{z} - \dot{\xi}_{аб}) - 2c_p(z - \xi_{аб}) &= 0; \\
 m_a\ddot{\xi}_a - k_{ш}(\dot{z} - \dot{\xi}_{аб}) - c_p(z - \xi_{аб}) + \\
 + 2k_{ш}(\dot{\xi}_a - \dot{q}_a) + 2c_{ш}(\xi_a - q_a) &= 0; \\
 m_b\ddot{\xi}_b - k_{ш}(\dot{z} - \dot{\xi}_{аб}) - c_p(z - \xi_{аб}) + \\
 + 2k_{ш}(\dot{\xi}_b - \dot{q}_b) + 2c_{ш}(\xi_b - q_b) &= 0; \\
 \xi_{аб} &= (\xi_a - \xi_b) / 2;
 \end{aligned}$$

поздовжно-кутові коливання (б)

$$\begin{aligned}
 (m\rho_y^2 + m_{аб}h_3^2)\ddot{\alpha}_p + (k_{зч}h_1^2 + k_{шп}h_4^2)\dot{\alpha}_p + \\
 (3EJ_{д}/l_{д} + c_{зч}h_1^2 + c_{шп}h_4^2)\alpha_p + \\
 + [2k_{ш}(\xi - \dot{q})]h_3(f_3 + \dot{q}/\nu + \\
 + [2c_{ш}(\xi - q)]h_3(f_3 + \dot{q}/\nu - \\
 Gh_3\dot{q}/\nu = 0.
 \end{aligned}$$

Тут  $G = G_p + G_{п}l_1/l_0$ ;

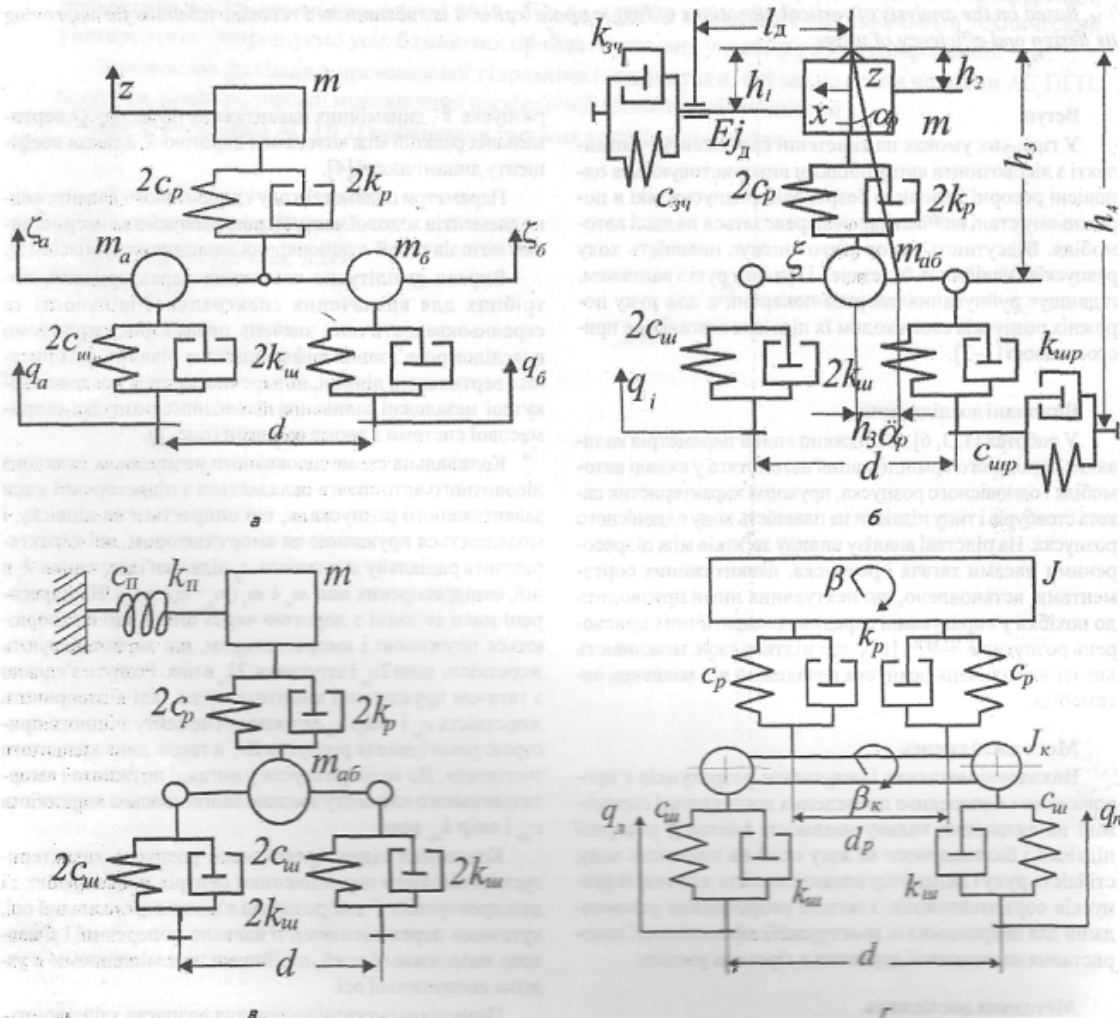


Рис. 1. Розрахункові схеми вертикальних (а), поздовжно-кутових (б) і поперечно-кутових (в, г) незалежних коливань лісового розпуски.

поперечно-кутові коливання ( $\beta, \theta$ )

$$J_3 \ddot{\beta} + k_{34} \dot{\beta} + c_{34} \beta + 2k_p d_p^2 (\dot{\beta} - \dot{\beta}_\kappa) + 2(c_p d_p^2 + c'_p) (\beta - \beta_\kappa);$$

$$J_{\kappa 3} \ddot{\beta} - 2k_p d_p^2 (\dot{\beta} - \dot{\beta}_\kappa) - 2(c_p d_p^2 + c'_p) (\beta - \beta_\kappa) + 2c_{ш} d^2 (\dot{\beta}_\kappa - \dot{\beta}_{аб}) + 2c_{ш} d^2 (\beta_\kappa - \beta_{аб});$$

$$\beta = (\beta_a - \beta_b) / 2;$$

де  $J = m \rho_x^2$  та  $J_\kappa = m_\kappa \rho_{\kappa x}^2$  — моменти інерції відповідно підресореної і непідресореної мас розпуску відносно їх поперечних осей;  $\rho_x$  і  $\rho_{\kappa x}$  — радіуси інерції;

Наводимо остаточні вирази для розрахунку амплітудно-частотних характеристик:

лінійних прискорень підресореної маси розпуску

$$W_z(\omega) = \omega^2 \frac{D_z}{D} k_H;$$

поперечних кутових переміщень підресореної маси

$$W_\beta(\omega) = \frac{D_\beta}{D'} k_H;$$

динамічного навантаження на ресору

$$W_Q(\omega) = \sqrt{c_p^2 + k_p^2 \omega^2} \frac{D_Q}{D},$$

вертикальних реакцій між колесами і дорогою

$$W_R(\omega) = \sqrt{4c_{ш}^2 + 4k_{ш}^2 \omega^2} \frac{D_R}{D},$$

навантажень у зчипному пристрої

$$W_p(\omega) = h_2 h_3 \sqrt{c_{34}^2 + \omega^2 k_{34}^2} \frac{D_{ш}}{D_p D}.$$

У наведених виразах:

$$D_z = \sqrt{a_\omega^2 + b_\omega^2}; \quad D = \sqrt{c_\omega^2 + d_\omega^2};$$

$$D_\beta = \sqrt{a'_\omega^2 + b'_\omega^2}; \quad D' = \sqrt{c'_\omega^2 + d'_\omega^2};$$

$$D_Q = \sqrt{(a_\omega - c_\omega)^2 + (b_\omega - f_\omega)^2};$$

$$D_R = \sqrt{(e_\omega - c_\omega)^2 + (f_\omega - d_\omega)^2};$$

$$k_H = 0,5 \sqrt{(1 + \cos \omega d / v)^2 + (\sin \omega d / v)^2},$$

де  $a_\omega = b_{12} b_{23} - a_{12} a_{23}$ ;

$$b_\omega = a_{12} b_{23} + b_{23} + b_{12} a_{23};$$

$$c_\omega = a_{11} a_{22} - b_{11} b_{22} - a_{12} a_{21} + b_{12} b_{21};$$

$$d_\omega = a_{11} b_{22} + b_{11} a_{22} - a_{12} b_{21} - b_{12} a_{21};$$

$$e_\omega = a_{11} a_{23} - b_{11} b_{23};$$

$$f_\omega = a_{11} b_{23} + a_{23} b_{11};$$

тут  $a_{11} = -(m_p + m_\Pi) \omega^2 + 2c_p$ ;

$$b_{11} = 2k_p \omega; \quad a_{12} = -2c_p;$$

$$b_{12} = 2k_p \omega; \quad b_{22} = (2k_p + 4k_{ш}) \omega;$$

$$a_{21} = a_{12}; \quad a_{23} = 4c_{ш}; \quad b_{21} = b_{12};$$

$$a_{22} = -m \omega^2 + 2c_p + 4c_{ш}; \quad b_{23} = 4k_{ш} \omega;$$

$$a'_{11} = -(m_p + m_\Pi) \rho_\Pi^2 \omega^2 + 2(c_p d_p^2 + c'_p) + c_\Pi;$$

$$b'_{11} = (k_\Pi + 2k_p d_p^2) \omega; \quad b'_{21} = b'_{12};$$

$$a'_{12} = -2(c_p d_p^2 + c'_p);$$

$$b'_{12} = -2k_p d_p^2 \omega; \quad a'_{21} = a'_{12};$$

$$a'_{22} = -m \rho_x^2 \omega^2 + 2(c_p d_p^2 + c'_p) + 4c_{ш} d^2;$$

$$a'_{23} = 4c_{ш} d^2; \quad b'_{23} = 4k_{ш} d^2 \omega.$$

Тут  $q_i$  —  $i$ -та ордината мікропрофілю,  $m$ ;  $\xi_i$  — переміщення  $i$ -ї осі розпуску,  $m$  ( $i=a, b$ ); ( $\xi_a + \xi_b = \xi_{аб}$ );  $b$  — база розпуску,  $m$ ;  $l$  — довжина дишла,  $m$ ;  $h_i$  ( $i=1, 2, 3, 4$ ) — геометричні параметри,  $m$ ;  $v$  — швидкість руху,  $m/c$ ;  $\omega$  — кругова частота,  $1/c$ ;  $c'_p$  — жорсткість ресор розпуску на кручення,  $\kappa H m^2$

На підставі наведених розрахункових виразів обчислено параметри коливань одновісного і двовісного лісовозного розпуску, який працює в комплекті з автомобілями МАЗ-5434 на вивезенні сортиментів гірських гравійними дорогами в Карпатах для корисного навантаження на розпуск 14,8  $\kappa H$  (рис. 2, 3).

Розрахунки проведено для таких значень параметрів одновісного 1-Р-8 і двовісного 9383-012 розпусків у складі лісовозного автопотяга-сортаментовоза на базі автомобіля МАЗ-5434:

Розпуски	$m_p, кг$	$m_{об}, кг$	$l_{д}, см$	$d, см$
1-вісний	9050	1130	3050	-
2-вісний	16190	1950	3050	1710

**Аналіз результатів**

Як видно з показаних графічних залежностей, протягом руху одновісного розпуску без вантажу вертикальні прискорення зростають у порівнянні із навантаженням розпуском в 5–16 разів, коефіцієнт динамічності ( $K_d = 1 + Q_{ст}/Q_d$ ) — в 5–11 разів, навантаження на ресору — в 0,5–1,4 разів, вертикальні реакції — в 1,2–1,6 разів, що обумовлює зростання кількості відривів коліс від дороги та ймовірність пробивання підвіски (рис. 2а), і засвідчує про необхідність перевезення порожнього розпуску на шасі автомобіля або, якщо це неможливо, удосконалення наявної підвіски розпуску.

Застосування балансірної підвіски зменшує вертикальні прискорення лісовозного розпуску на 25–45%, хоча вони залишаються все ж таки вищими від гранично допустимих (рис. 2б).

Установлення ресор на двовісних лісовозних розпусках, призначених для вивезення сортаментів, дозволяє зменшити вертикальні прискорення на 65–80% (для жорсткості ресор 1000 кН/м) і забезпечити потрібну плавність ходу (рис. 2б).

Задовільні плавність ходу, динамічна завантаженість, стійкість руху навантаженого лісовозного розпуску з автомобілем МАЗ гірськими гравійними дорогами у доброму стані забезпечується за сумарної жорсткості ресор 1400–2200 кН/м, що відповідає статичному прогину ресор 7,0–4,5 см.

Наявність поздовжньо-кутових переміщень розпуску навколо точки зв'язку його з пакетом (рис. 3а, б), зумовлених податливістю зчіпного пристрою: дишла, рами тощо, надає значні поздовжні зусилля, які діють на рами автомобіля і розпуску уздовж осі дишла (рис. 3в). Найменші зусилля виникають у разі кріплення дишла безпосередньо до коника автомобіля, що забезпечує жорстке з'єднання розпуску з пакетом, у цьому разі не тільки істотно зменшується зношення елементів розпуску і зчіпного пристрою, але й усувається кінематична невідповідність, яка має місце у двоточковому зв'язку розпуску з автомобілем через пакет і зчіпний пристрій.

**Висновки**

Ефективність використання лісовозних розпусків на лісовозних гравійних шляхах господарського призначення, зокрема швидкості руху, плавності ходу, довговічності ходової частини значною мірою залежить від обґрунтованого вибору типу розпуску і параметрів його системи піддресорювання залежно від заданих умов експлуатації.

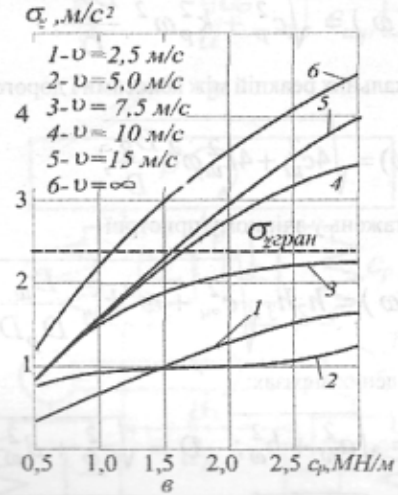
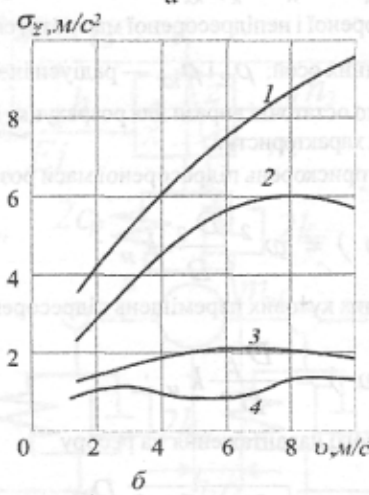
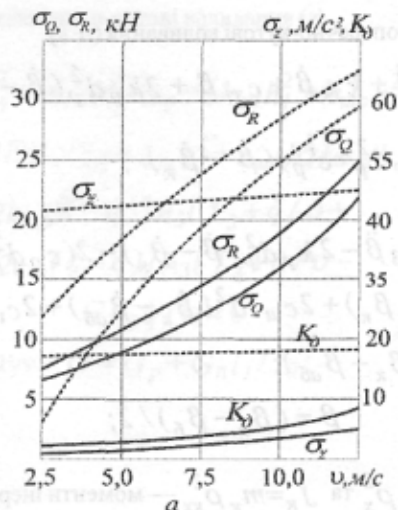


Рис. 2. Залежність середньоквадратичних значень вертикальних прискорень, навантажень на ресору, вертикальних реакцій між колесами і дорогою та коефіцієнта динамічності від швидкості руху (а і б) і жорсткості ресор розпуску (в): — з вантажем; ..... — без вантажу; 1 — безресорного небалансірного; 2 — безресорного балансірного; 3 — ресорного не балансірного; 4 — ресорного балансірного.

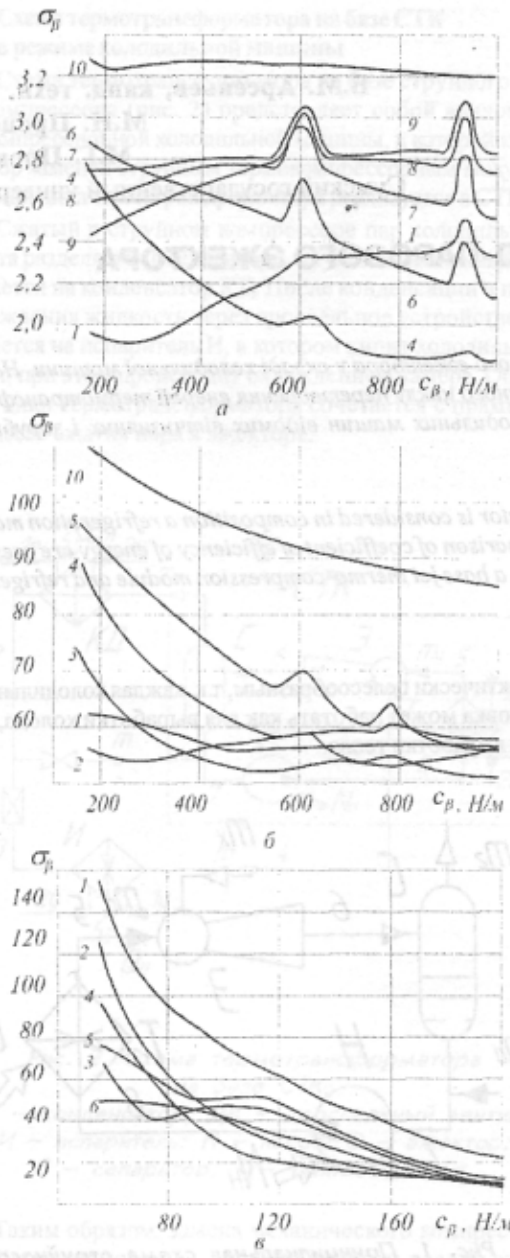


Рис. 3. Залежність середньоквадратичних значень кутових переміщень у вертикальній поздовжній площині від кутової жорсткості ресор для магістралі (а) і вітки (б) лісовозної дороги і навантажень у зчіпному пристрої від зведеної кутової жорсткості (в): 1 –  $E = 1,25$  м/с; 2 –  $v = 2,5$  м/с; 3 –  $v = 3,75$  м/с; 4 –  $E = 5$  м/с; 5 –  $v = 6,25$  м/с; 6 –  $v = 7,5$  м/с; 7 –  $v = 10$  м/с; 8 –  $v = 12,5$  м/с; 9 –  $v = 15$  м/с; 10 –  $v = \infty$ .

## Література

1. Библюк, Н.І. Лісотранспортні засоби: Теорія: Підручник до ВНЗ. — Львів: УкрДЛТУ, 2004. — 456 с.
2. Библюк, Н.І. Екологічна сумісність наявних технологій лісозаготівлі з природнім середовищем: Європейський досвід і українські реалії // Наукові праці: 36. наук. робіт ЛАН України. — Львів: УкрДЛТУ. — 2004. — Вип. 3. — С. 118—132.
3. Библюк, Н., Стиранівський, О., Адамівський, А. Обґрунтування параметрів колісних лісотранспортних засобів // Праці наукового товариства ім. Шевченка. Том II. — Львів: Екотехнології, 1998. — С. 601—618.
4. Ротенберг, Р.В. Подвеска автомобиля. — М.: Машиностроение, 1972. — 392 с.
5. Силаев, А.А. Спектральная теория поддресорования транспортных машин. — М.: Машиностроение, 1972. — 192 с.
6. Библюк, Н.И. О выборе расчетной модели при исследовании вертикальных колебаний лесовозного автопоезда // Лесной журнал. — 1977. — №1. — С. 39—44.

Надійшла 16.06.2010 р.